

老化红细胞膜的脂质及蛋白质变化

曹锡清 毕蕾 潘华珍

(中国协和医科大学,北京)

近年来许多学者从两个方面对机体衰老的机制进行了研究：机体的衰老过程与细胞老化过程，后者是机体衰老的基础。^[1] 红细胞由于直接暴露在高氧分压下，又有铁离子催化，特别易受脂质过氧化的损伤，所以成为研究细胞老化的最好材料之一。本文仅以老化红细胞为对象，研究其膜脂、膜蛋白及脂质过氧化与老化的关系。

部切割，因而有部分 cDNA 片段仍留在载体上，如与 HUK 同源仍可杂交。XbaI 片段在胶片上显现浓黑区带，与 HUK 杂交强阳性，表明二者同源性很高；(2) 未经酶解的三种构型的 pYN-15 均为杂交阳性，因为它们同样含有猪 uPA cDNA 序列，与 HUK 同源即能杂交；(3) pHUK-8 质粒的 P_sI 片段 (HUK) 杂交最强，此系阳性对照。但在 HUK 片段上方可见两个微弱杂交带，可能是酶解不全残留微量完整的 pHUK-8 所致；(4) pBR322 质粒及 λ DNA Hind III 片段均杂交阴性。因此，pYN-15 质粒 DNA 的 XbaI 片段与 HUK 片段杂交阳性不是由于非特异性显影，而是由于二者具有同源序列。即人 uPA cDNA 与猪 uPA cDNA 具有显著的同源性。由于 HUK 是一个靠近人 uPA cDNA 3' 端且含有内含子的片段，因此作为探针有一定局限性；而猪 uPA cDNA 是全长序列，5' 端与 3' 端序列均完整又无内含子，同时又显著地与 HUK 同源，二者结合使用可能有助于从 cDNA 或基因组文库中钓取人 uPA 克隆。

材料与方法

一. 老化红细胞的分离^[2]

用生理盐水将 40% 的葡聚糖配成五种稀释度 (27%、26%、25%、24%、23%)，其比重分别为 1.093、1.090、1.086、1.080 及 1.074，各取 1ml 加到离心管中。取正常人全血，弃血浆用生理盐水洗去白细胞及血小板，离心得压紧

小 结

菌落原位杂交及 Southern 吸印杂交均证明，pYN-15 重组质粒中的猪 uPA cDNA 片段与 pHUK-8 质粒中的人 uPA cDNA (HUK) 片段，具有明显的同源性；二者均可作为探针从人的基因组或 cDNA 文库中钓取人 uPA 克隆。

参 考 文 献

- [1] 逯好英等：dG-dC 同聚物接尾法构建人胚肾 cDNA 文库(内部资料) 1983。
- [2] 丁少宏：胎儿食管粘膜基因文库的构建(医科院研究生论文)，1985。
- [3] Blasi, F. et al., *PNAS*, **81**: 4727, 1984.
- [4] Nagamine, Y. et al., *Nucl. Acids Res.*, **12**(24): 9525, 1984.
- [5] 王嘉玺, 孙苏华: «军事医学科学院院刊» **6**: 1985。
- [6] 王嘉玺: «中国遗传学第二次代表大会暨学术讨论会论文摘要汇编», 28—29, 1983。
- [7] Davis, R. W. et al., in *Methods in Enzymology*, Vol. **65**, 407—408, Academic Press, New York, 1982.
- [8] Maniatis, T. et al., *Molecular Cloning a laboratory manual*, 383, CSH, 1982.
- [9] *ibid.*, 326
- [10] *BRL Catalog and Reference Guide*, 15, 1983.

[本文于 1985 年 12 月 30 日收到]

红细胞，用生理盐水等体积稀释，加 1ml 于盛有葡聚糖密度梯度的离心管上，3000rpm 离心一小时，即可分成三层，将三层分别收集待用。

二、红细胞 G-6-PD 活性测定 参照 Beuter^[3] 法，酶活性以每克 Hb 含国际单位数表示 (IU/gHb)。

三、红细胞膜脂质过氧化物 按 Mengel^[4] 法测定脂质过氧化物终产物丙二醛 (MDA) 含量，以每克 Hb 含毫微克分子 MDA 数表示 (nM MDA/gHb)。

四、红细胞膜磷脂测定 按 Rose^[5] 法，结果以磷脂各组分所占总磷脂百分比表示。

五、脂肪酸的测定 按 Rose 法提取脂质，取用生理盐水洗过的红细胞，加水破溶，用异丙醇及三氯甲烷(两者内含 0.05% 2, 6-2, 3-丁基羟甲苯以防氧化)萃取，吹氮浓缩，低温保存待用。吹干的样品，加无水甲醇：苯：氢氧化钠(30:20:1)试剂甲酯化，充分反应后，加甲醇盐酸液中和，再用正己烷萃取脂肪酸甲酯。将此样品浓缩，用毛细管柱气相色谱法分析 (OAR5 型气相色谱仪，Carlo Erba Strumentazione 产，毛细管柱长 50 英尺，直径 0.22mm)。以标准脂肪酸保留时间为对照，确定样品的脂肪酸量。脂肪酸的量以 C_{18:0} mg/ml 为 1 作标准，以计算其他各种脂肪酸的相对重量。

六、荧光物质的测定 用 Rose 法提取膜脂质。提取液用日立 MPF4 型荧光分光光度计测定其荧光物质。激发波长 360nm，狭缝 4nm，发射在 440nm 波长，狭缝 8nm。以异丙酮—三氯甲烷溶剂系统作空白，以 0.05 μg/100 0.1N H₂SO₄ 的硫酸奎宁为标准荧光单位，分别测定年轻及老化细胞脂质提取液中的荧光物质含量。

七、红细胞膜巯基(-SH)含量 按荣康泰法(未发表)测定，结果以每毫克膜蛋白含毫微克分子 SH 数表示 (nM SH/mg Pr)。

八、红细胞膜提取 按 Dodge^[6] 法，然后按 Laemmli^[7] 法作膜 SDS-聚丙烯酰胺凝胶电泳 (PAGE)。

实验结果

一、用葡聚糖不连续密度梯度离心法，将红细胞分层，结果见图 1(见封三)。从图 1 可见离心后分为三层，上层为年轻红细胞，下层为老化红细胞。其 G-6-PD 活性分别为 4.87±1.4 及 3.74±1.39 (IU/gHb)。老化红细胞 G-6-PD 活性明显低于年轻者。(P 值 <0.05)

二、年轻及老化红细胞脂质过氧化产生丙二醛 (MDA) 含量分别为 0.77±0.23 及 2.64±1.89 (nM MDA/gHb)。红细胞经 6% H₂O₂ 处理后，老化红细胞 MDA 产量远远高于年轻细胞。

三、老化红细胞磷脂变化不大，只有丝氨酸磷脂有明显改变，其他都与年轻者一样。

表 1 年轻及老化红细胞磷脂百分含量

	年轻 M±SD	老化 M±SD	P 值
磷脂酰乙醇胺	28.83±4.2	28.75±2.48	>0.5
磷脂酰丝氨酸	18.57±5.33	15.64±5.82	<0.05
磷脂酰胆碱	25.89±4.44	27.19±3.32	>0.2
磷脂酰鞘氨醇	26.73±4.38	28.94±5.43	>0.1

四、年轻和老化红细胞脂肪酸含量。从表 2 可看出，老化细胞的饱和脂肪酸 (C_{16:0}) 明显减少，不饱和脂肪酸 (C_{20:4}) 增高。

表 2 年轻与老化红细胞脂肪酸百分含量

	年轻 M±SD	老化 M±SD	P 值
C _{14:0}	2.16±1.47	2.26±0.74	>0.1
C _{16:0}	20.15±6.61	17.29±5.88	<0.05
C _{18:0}	15.93±4.29	12.66±4.55	>0.2
C _{18:1}	12.68±3.67	9.28±3.11	>0.1
C _{18:2}	10.27±3.02	10.40±2.83	>0.5
C _{20:4}	31.85±11.09	43.48±13.29	<0.01

五、年轻及老化红细胞荧光物质含量分别为 0.43±0.21 及 1.34±1.05 (荧光单位/gHb)。老化红细胞所含荧光物质远远高于年轻细胞。(P 值 <0.01)

六、年轻及老化红细胞膜巯基含量分别为 64.08±3.00 及 52.85±3.04 (nM SH/mg P_r)。老

化红细胞巯基比年轻者明显减少。(P 值<0.05)

七、SDS-PAGE 电泳图谱:

从 SDS-PAGE 图谱(图 2 见封三)中可看出老化与年轻红细胞膜蛋白无大差别,但可清晰可见老化细胞在胶前沿有高聚物存在。

讨 论

一、分离老化细胞方法很多,但多用密度梯度离心法。我们用葡聚糖梯度方法,可分成三层。Nakai^[2] 提出 G-6-PD 减少及脂质过氧化产物 MDA 含量的增高是老化细胞的标志。按他提出的指标,我们分得的下层是老化细胞。至于老化细胞密度增加的原因看法有多种。最近 Wagner^[7] 提出红细胞在血液循环过程中由于种种内部的或环境因素(如感染、溶血性贫血等)有少量的膜脱落,形成小囊泡,因此细胞膜面积缩减,膜体积减小,密度增加。我们推测老化细胞的密度增加也有此原因。

二、由表 1 可见老化细胞磷脂改变不大,只有 PS 明显增高。结合荧光物质测定结果,可以看出老化细胞荧光物质也增高。Kiyomi^[8] 提出老化细胞的荧光物质是由一系列的荧光物质组成,统称褐脂质(lipofuscin)。这些物质是丙二醛与磷脂交联的产物。结合我们的实验结果,老化红细胞不饱和脂肪酸($C_{20:4}$)增高,不饱和脂肪酸氧化产物是丙二醛。我们实验结果丙二醛含量也增高。Freeman^[9] 提出老化的主要原因之一是细胞长期受过氧化的袭击。老化

理论中交联学说^[10]越来越受到人们重视。综合以上结果分析老化细胞内过氧化反应较强,使不饱和脂肪酸氧化成丙二醛,丙二醛又与磷脂(特别是 PS)交联,形成荧光物质,进一步证实细胞老化与过氧化有密切关系。

三、从 SDS-PAGE 图谱看出,老化红细胞膜蛋白改变不大,主要是出现高聚物。Hochstein 报道,细胞受氧化损伤时,膜收缩蛋白易与区带 4,1 交联形成高聚物。我们实验结果中老化细胞膜巯基含量减少。红细胞膜收缩蛋白是富含巯基的蛋白,所以可能在老化过程中巯基相互交联形成高分子化合物。所以巯基减少,高分子化合物增多。

参 考 文 献

- [1] 吕维善等: 中华医学杂志, 62, 181, 1982。
- [2] Nakai, T. et al: *Acta Hematology Japan*, 47, 1230, 1984.
- [3] Beutler, E.: *Red blood cell metabolism* (2 Ed), New York, 1975.
- [4] Mengel, G. E. et al: *J. Clin. Invest.*, 46, 1715, 1967.
- [5] Rose, W. et al: *J. Lip. Res.*, 6, 428, 1965.
- [6] Dodge, J. T.: *Arch. Biochim. Biophys.*, 100, 119, 1963.
- [7] Wagner, G. M. et al: *Clin. in Hematology*, 14, 183, 1985.
- [8] Kiyomi, K. et al: 卫生化学(日文), 30, 333, 1984.
- [9] Freeman, B. A. et al: *Lab. Invest.*, 47, 412, 1982.

【本文于 1985 年 9 月 28 日收到】

曹锡清等:《老化红细胞膜的脂质及蛋白质变化》一文的图 1、2

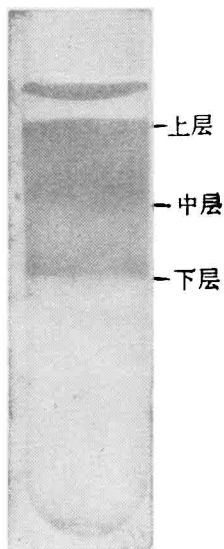


图 1 红细胞密度梯度离心结果

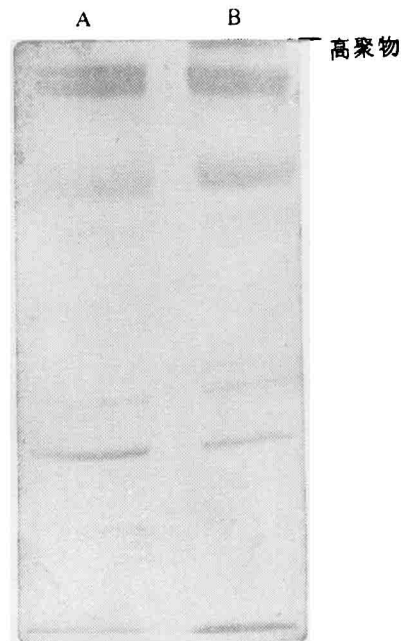


图 2 SDS-PAGE 图谱

A——年轻红细胞膜
B——老化红细胞膜

梁念慈等:《聚丙烯酰胺凝胶的蛋白质荧光染色法》一文的图 1

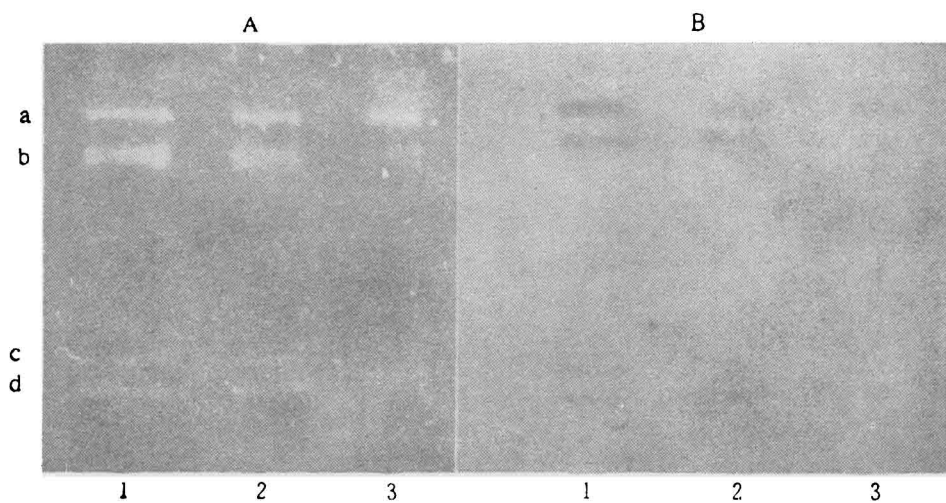


图 1 荧光染色法(A)和考马斯亮蓝染色法(B)的对比

a. 牛血清白蛋白。b. 卵白蛋白。c. 肌红蛋白。d. 溶菌酶。1, 2, 3 行含各种蛋白质分别为 $2\mu\text{g}$, $1\mu\text{g}$ 和 $0.5\mu\text{g}$